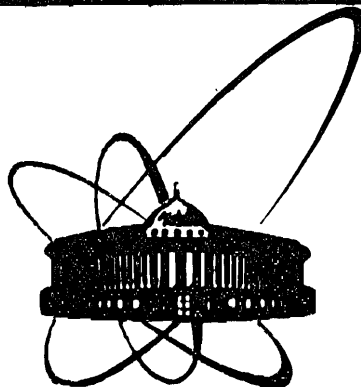


87-488



ОБЪЕДИНЕННЫЙ
ИНСТИТУТ
ЯДЕРНЫХ
ИССЛЕДОВАНИЙ
ДУБНА

P17-87-488

Н.М.Плакида, В.С.Шахматов*

СТРУКТУРНЫЙ ФАЗОВЫЙ ПЕРЕХОД
В La_2CuO_4

Направлено в журнал "Кристаллография"

* Физико-энергетический институт, Обнинск

1987

Интерес к изучению свойств кристалла La_2CuO_4 возник в связи с открытием Беднорцем и Моллером высокотемпературной сверхпроводимости в системе $Ba-La-Cu-O$ ^{1/1}. При температуре 533 К в La_2CuO_4 происходит структурный фазовый переход из орторомбической фазы в тетрагональную со структурой типа K_2NiF_4 ^{1/2}. Пространственная группа (пр.гр.) кристалла в орторомбической фазе, $Cmca$ (D_{2h}^{18}), была определена методами дифракции рентгеновских лучей^{1/3} и нейтронов^{1/4}. В работе^{1/5} для орторомбической фазы La_2CuO_4 , синтезированной по определенной технологии, приводится другая пр.гр. - $Fmm2$ (C_{2v}^{18}). Кроме того, было отмечено, что соединения $La_{2-x}M_xCuO_4$ ($M = Pn$, Nd) в тетрагональной фазе изоструктурны и отличаются от La_2CuO_4 тетраэдрической координацией кислорода в лантановом слое. В работе^{1/6} изучено влияние технологии приготовления образцов на их структуру и физические свойства.

Исследование сверхпроводника $La_{1.85}Ba_{0.15}CuO_4$, проведенное методом дифракции нейтронов^{1/4}, показало, что это соединение имеет пр. гр. $I4/mmm$ (D_{4h}^{17}) и аналогично по структуре K_2NiF_4 .

В работах^{1/7, 1/8} сделан расчет электронной зонной структуры La_2CuO_4 . Сильное перекрытие орбиталей $Cu(3d)-O(2p)$ в базисной плоскости приводит к двумерному характеру зоны проводимости. Полупроводниковые свойства La_2CuO_4 при низких температурах были объяснены пайерловской неустойчивостью с волновым вектором на границе зоны Бриллюэна (X -точка). Согласно работе^{1/1} в базисной плоскости La_2CuO_4 возможны два типа колебаний кислорода, которые изменяют расстояние $Cu-O$. Одно из них (колебание типа "breathing") сильно связано с электронами проводимости и, вследствие пайерловской неустойчивости, может привести к структурному переходу с понижением точечной симметрии кристалла от тетрагональной D_{4h} до орторомбической D_{2h} .

В работе^{1/4} была также обсуждена природа фазового перехода, разделяющего сверхпроводник и полупроводник. Смещения ионов в мягкой фононной моде соответствуют наклону кислородного октаэдра (колебание типа "tilting"). Такие моды не связаны с электронными зонами, образованными из орбиталей $Cu(3d)-O(2p)$, однако могут взаимодействовать с

электронами проводимости косвенно, через связь с электронными зонами, построенными из орбиталей лантана и кислорода в лантановом слое^{/4/}.

В настоящей работе проведен симметрийный анализ возможных структурных переходов из пр.гр. $I\ 4/m\ m\ m$ с волновым вектором на границе зоны Бриллюзена (X -точка). Представлена феноменологическая теория Ландау структурного фазового перехода в La_2CuO_4 .

I. СИММЕТРИЙНЫЙ АНАЛИЗ

A. Разложение свободной энергии

Кристалл La_2CuO_4 имеет симмэрфную пр.гр. $I\ 4/m\ m\ m$ (D_{4h}^{17}):

$$D_{4h}^{17} = \{E, C_4^2, \mathcal{U}_{\bar{x}\bar{y}}, \mathcal{U}_{x\bar{y}}, \mathcal{U}_x, \mathcal{U}_y, C_4, C_4^3, I, \mathcal{B}_z, \mathcal{B}_{\bar{x}\bar{y}}, \mathcal{B}_{x\bar{y}}, \mathcal{B}_x, \mathcal{B}_y, S_4^3, S_4\} \times T, (I)$$

где E, \dots, S_4 - представители смежных классов. Нормальная подгруппа трансляций T определяется объемноцентрированной тетрагональной (ОЦТ) решеткой Бравэ. Основные векторы трансляции прямой решетки^{/9/}:

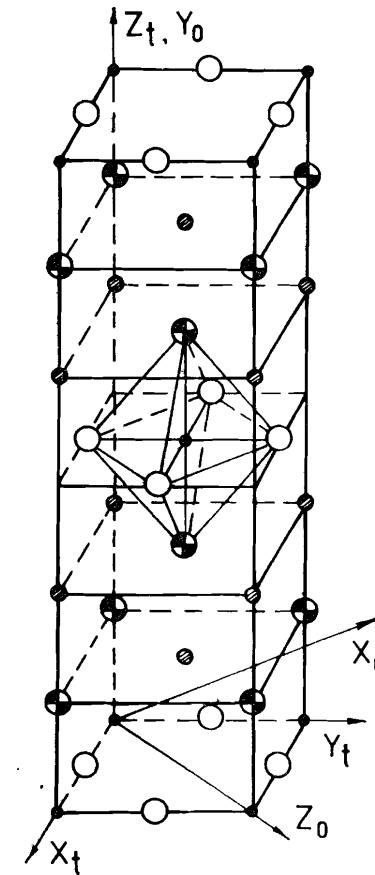
$$\vec{\alpha}_1 = (-\tau \ \tau \ \tau_z), \quad \vec{\alpha}_2 = (\tau - \tau \ \tau_z), \quad \vec{\alpha}_3 = (\tau \ \tau - \tau_z), \quad (2)$$

обратной решетки:

$$\vec{b}_1 = \pi(0 \ \frac{1}{\tau} \ \frac{1}{\tau_z}), \quad \vec{b}_2 = \pi(\frac{1}{\tau} 0 \ \frac{1}{\tau_z}), \quad \vec{b}_3 = \pi(\frac{1}{\tau} \frac{1}{\tau} 0). \quad (3)$$

Элементарная ОЦТ-ячейка содержит две формульные единицы La_2CuO_4 (см. рисунок). Атомы в примитивной ячейке занимают следующие позиции: Cu - позиция Ia с локальной симметрией D_{4h} , координаты (000) ; La_1 - $2e$, C_{4v} , $(00Z_{La})$; La_2 - $2e$, C_{4v} , $(00-Z_{La})$; $O(I)_1$ - $2c$, D_{2h} , $(I/200)$; $O(I)_2$ - $2c$, D_{2h} , $(OI/20)$; $O(2)_1$ - $2e$, C_{4v} , $(00Z_0)$; $O(2)_2$ - $2e$, C_{4v} , $(00-Z_0)$, где $Z_{La} = 0,36063(9)$ и $Z_0 = 0,1828(2)/4$.

Структурный фазовый переход $D_{4h}^{17} \leftrightarrow D_{2h}^{18}$ происходит с волновым вектором на границе зоны Бриллюзена (X -точка), двухлучевая звезда волнового вектора в обозначении Ковалева^{/9/} - $\{\vec{k}_{13} = \vec{b}_3/2\}$. Группы волнового вектора для симмэрфных пр.гр. изоморфны точечным группам, а проективные (или нагруженные) представления совпадают с малыми представлениями. Группа волнового вектора $G\vec{k}_{13}$ имеет восемь одномерных неприводимых представлений (НП): τ_i , $i = 1, \dots, 8$. В качестве элемента-представителя разложения пр.гр. D_{4h}^{17} в смежные классы по подгруппе $G\vec{k}_{13}$ выберем элемент C_4 . Все НП $\tau_i, i = 1, \dots, 8$, группы



Элементарная ОЦТ-ячейка кристалла La_2CuO_4 /5/:
• - медь, \ominus - лантан, \bullet - кислород. X_t, Y_t, Z_t , X_0, Y_0, Z_0 - декартовы системы координат в тетрагональной и орторомбической фазах.

D_{4h}^{17} являются двумерными представлениями. Группа образа НП τ_i , $i = 2, \dots, 8$, изоморфна двумерной точечной группе C_{4v} /10/. Таким образом, для всех НП τ_i , $i = 2, \dots, 8$, целый рациональный базис инвариантов (ИРБИ) /II/ имеет вид

$$I_1 = \eta_1^2 + \eta_2^2, \quad I_2 = \eta_1^2 \cdot \eta_2^2, \quad (4)$$

где $\{\eta_i\}$ - двухкомпонентный параметр порядка. Разложение свободной энергии по параметру порядка удобно записать в следующем виде:

$$F_\eta = \frac{1}{2} (\eta_1^2 + \eta_2^2) + \frac{u_1}{2} \eta_1^2 \eta_2^2 + \frac{u_2}{4} (\eta_1^4 + \eta_2^4) + \dots, \quad (5)$$

где многоточием обозначены члены более высокого порядка. Деформационный вклад в свободную энергию записывается в обычном виде:

$$\begin{aligned} F_\epsilon &= \frac{1}{2} C_{11} (\epsilon_1^2 + \epsilon_2^2) + C_{12} \epsilon_1 \epsilon_2 + C_{13} (\epsilon_1 \epsilon_3 + \epsilon_2 \epsilon_3) + \\ &+ \frac{1}{2} C_{33} \epsilon_3^2 + \frac{1}{2} C_{44} (\epsilon_4^2 + \epsilon_5^2) + \frac{1}{2} C_{66} \epsilon_6^2, \end{aligned} \quad (6)$$

здесь использованы обозначения Фойгта и опущены члены более высокого порядка, C_{ij} - коэффициенты жесткости кристалла.

Построим смешанные инварианты. Симметризованный квадрат НП τ_i , $i = 1, \dots, 8$, для звезды $\{\vec{k}_{14}=0\}$ раскладывается в прямую сумму НП точечной группы D_{4h} :

$$\tau_1(A_{1g}) \oplus \tau_7(B_{2g}). \quad (7)$$

В скобках указаны обозначения НП по Ландау - Либштадту /12/. По этим НП преобразуются следующие симметризованные величины:

$$\tau_1: \eta_1^2 + \eta_2^2; \quad \tau_7: \eta_1^2 - \eta_2^2. \quad (8)$$

Симметризованный квадрат векторного представления имеет состав

$$2\tau_1(A_{1g}) \oplus \tau_5(B_{1g}) \oplus \tau_7(B_{2g}) \oplus \tau_9(E_g). \quad (9)$$

Соответствующие базисные функции:

$$2\tau_1: z\bar{z}, xx+yy; \quad \tau_5: xx-yy; \quad \tau_7: xy; \quad \tau_9: \begin{pmatrix} y \\ x \end{pmatrix}. \quad (10)$$

Члены взаимодействия низших порядков по параметрам η_i и ϵ_i возникают из НП τ_1 и τ_7 :

$$F_{\eta\epsilon} = \{\alpha(\epsilon_1 + \epsilon_2) + \beta\epsilon_3\}(\eta_1^2 + \eta_2^2) + \gamma\epsilon_6(\eta_1^2 - \eta_2^2). \quad (II)$$

Следовательно, полное разложение свободной энергии принимает вид

$$F = F_\eta + F_{\eta\epsilon} + F_\epsilon. \quad (12)$$

Согласно критерию Бирмана /13/ ответственное НП, по которому происходит фазовый переход, совместно с единичным представлением низкосимметричной группы. Условие инвариантности функции плотности $\delta\rho = \sum_{i=1}^2 \eta_i \psi_i$ относительно группы D_{2h}^{18} для ответственного НП τ_3 приводит к следующему типу решения:

$$\eta_1 \neq 0, \quad \eta_2 = 0, \quad (13)$$

при этом сохраняются элементы симметрии

$$E, u_{xy}, (u_{xy}|\vec{a}_3), (C_4|\vec{a}_3), I, \sigma_{xy}, (\sigma_{xy}|\vec{a}_3), (\sigma_z|\vec{a}_3). \quad (14)$$

Фазовый переход по второму лучу звезды (тип решения $\eta_1 = 0, \eta_2 \neq 0$, НП τ_5) приводит к возникновению другого домена, при этом сохраняются те же элементы симметрии (14).

Таким образом, фазовый переход $D_{4h}^{17} \rightarrow D_{2h}^{18}$ связан с удвоением объема примитивной ячейки кристалла. Ниже температуры фазового перехода возможно появление двух доменов, обусловленных фазовым переходом по одному из двух лучей звезды $\{\vec{k}_{13} = \vec{b}_3/2\}$.

Б Микроскопический параметр порядка (III)

Примитивная ячейка в высокотемпературной фазе содержит одну формальную единицу La_2CuO_4 , таким образом, декартовы смещения семи атомов составляют базис механического представления. Разложение механического представления по НП группы волнового вектора $G \vec{k}_{13}$ имеет вид

$$4\tau_1 \oplus 3\tau_3 \oplus 3\tau_4 \oplus 3\tau_5 \oplus 3\tau_6 \oplus 2\tau_7 \oplus 3\tau_8. \quad (15)$$

Базисные функции для различных НП приведены в таблице. Для луча \vec{k}_{13} смещение атома сорта x в примитивной ячейке \vec{R}_e определяется по формуле

$$\bar{u}(x) = \bar{u}(x)_0 \cdot \exp(-i\vec{k}_{13} \cdot \vec{R}_e). \quad (16)$$

Таблица.

Базисные функции механического представления в X -точке. Ионам Cu , La_1 , La_2 , $O(1)_1$, $O(1)_2$, $O(2)_1$ и $O(2)_2$ присвоены номера I,...,7 соответственно

НП	Фаза 3-a	Базисная	Фундаментальная
τ_1	D_{2h}^{19} , $Cmmm$	$2_x - 3_z$; $4_x + 5_y$; $4_y + 5_x$; $6_z - 7_z$	
τ_2	D_{2h}^{22} , $Ccc\alpha$		
τ_3	D_{2h}^{18} , $Cmc\alpha$	$2_x + 2_y - 3_x - 3_y$; $4_x + 5_z$; $6_x + 6_y - 7_x - 7_y$	
τ_4	D_{2h}^{17} , $Cmcm$	$4_x - 4_y$; $2_x - 2_y + 3_x - 3_y$; $6_x - 6_y + 7_x - 7_y$	
τ_5	D_{2h}^{18} , $Cmc\alpha$	$2_x - 2_y - 3_x + 3_y$; $4_x - 5_z$; $6_x - 6_y - 7_x + 7_y$	
τ_6	D_{2h}^{17} , $Cmcm$	$4_x + 4_y$; $2_x + 2_y + 3_x + 3_y$; $6_x + 6_y + 7_x + 7_y$	
τ_7	D_{2h}^{20} , $Ccc\alpha$	$4_x - 5_y$; $4_y - 5_x$	
τ_8	D_{2h}^{24} , $Cmma$	1_z ; $2_x + 3_z$; $6_z + 7_z$	

Из базисных функций ответственного НП τ_3 видно, что смещения ионов в мягкой моде обусловлены поворотом кислородных октаэдров вокруг оси, параллельной направлению $[110]$.

2. СТРУКТУРНЫЙ ФАЗОВЫЙ ПЕРЕХОД

Параметры кристаллической решетки La_2CuO_4 в тетрагональной фазе/^{2/}: $a_t = b_t = 3,81(1)$, $c_t = 13,24(5)$ Å (при 693 К), в орторомбической фазе/^{3-6/}: $a_o = 5,36$, $b_o = 5,40$, $c_o = 13,16$ Å, $\gamma_o = 90,43^\circ$ (при 294 К). Экстраполируя параметры решетки тетрагональной фазы на комнатную температуру, можно оценить значения спонтанных деформаций:

$$\begin{aligned}\varepsilon_1^c &= \varepsilon_2^c = \frac{(a_o + b_o)/\sqrt{3} - a_t}{a_t} = 6,4 \cdot 10^{-3}, \\ \varepsilon_3^c &= \frac{c_o - c_t}{c_t} \approx 0, \\ \varepsilon_6^c &= -\frac{1}{2} t g 0,43^\circ = -3,7 \cdot 10^{-3}.\end{aligned}\quad (I7)$$

Рассмотрим фазовый переход в монодоменное состояние по лучу k_{13} . Учитывая тип решения (I3), из выражения (I2) получаем эффективный потенциал для однокомпонентного НП, связанного с деформациями:

$$\begin{aligned}F_{\phi\phi} = & \frac{1}{2} \gamma \eta^2 + \frac{1}{4} \alpha \eta^4 + \frac{1}{6} \beta \eta^6 + \lambda (\varepsilon_1 + \varepsilon_2) \eta^2 + \\ & + \beta \varepsilon_3 \eta^2 + \gamma \varepsilon_6 \eta^2 + F_\varepsilon.\end{aligned}\quad (I8)$$

Из энергетических соображений и экспериментальных значений спонтанных деформаций (I7) следуют ограничения на феноменологические константы: $\lambda < 0$, $\gamma > 0$. Из уравнений состояния $\partial F / \partial \varepsilon_i = 0$ для потенциала (I8) получаем равновесные значения деформаций:

$$\begin{aligned}\alpha) \quad C_{11} &\neq C_{12}, \quad \varepsilon_1 = \varepsilon_2 = A \eta^2, \quad \varepsilon_3 = -\beta \eta^2 / C_{33} - 2 C_{13} A \eta^2 / C_{33}, \\ &\varepsilon_6 = -\gamma \eta^2 / C_{66},\end{aligned}\quad (I9)$$

$$\delta) \quad C_{11} = C_{12}, \quad \varepsilon_1 + \varepsilon_2 = B \eta^2, \quad \varepsilon_3 = -\beta \eta^2 / C_{33} - C_{13} B \eta^2 / C_{33}, \\ \varepsilon_6 = -\gamma \eta^2 / C_{66},$$

где $A = \frac{\beta C_{13} - \lambda C_{33}}{C_{33}(C_{11} + C_{12}) - 2 C_{13}^2}$, $B = \frac{\beta C_{13} - \lambda C_{33}}{C_{11} C_{33} - C_{13}^2}$. Отметим, что в случае б независимой деформацией является сумма $\varepsilon_1 + \varepsilon_2$. Уравнение для НП имеет вид

$$\tau\eta + \tilde{\eta}^3 + \gamma\eta^5 = 0, \quad (20)$$

где $\tilde{\eta}$ -перенормированная за счет взаимодействия III с деформациями константа η . Для случая а имеем

$$\tilde{\eta} = \eta + 4\alpha A + 2\beta(-\beta/c_{33} - 2c_{13}A/c_{33}) - 2\gamma^2/c_{66}. \quad (21)$$

Перенормировка уменьшает константу η . Для $\tilde{\eta} < 0$ эффективный потенциал (18) описывает фазовый переход первого рода. При температуре фазового перехода T_c возникает скачок III: $\delta\eta^2 = -3\tilde{\eta}/4\gamma$. Из формул (19) видно, что будут происходить аналогичные скачки деформаций ε_1 , ε_2 , ε_3 и ε_6 . Для $\tilde{\eta} > 0$ эффективный потенциал описывает переход второго рода. В этом случае III и спонтанные деформации будут непрерывно зависеть от температуры.

Обратная восприимчивость по полю X_η , сопряженному III η , находится по формуле

$$\chi^{-1} = \frac{\partial X_\eta}{\partial \eta} = \begin{cases} \tau, & T > T_c, \\ \tau + 3\alpha\eta_s^2 + 5\gamma\eta_s^4 + 2\alpha(\varepsilon_1 + \varepsilon_2)_s + 2\beta(\varepsilon_3)_s + 2\gamma(\varepsilon_6)_s, & T < T_c. \end{cases} \quad (22)$$

Индекс s указывает на то, что III и компоненты тензора спонтанной деформации определяются из уравнений состояния при $T < T_c$. В случае фазового перехода второго рода имеем

$$\chi^{-1} = -2\tau \left[\left(3\alpha - \tilde{\eta} \right) / (2\tilde{\eta}) + 2\alpha A / \tilde{\eta} - \beta^2 / (c_{33} \tilde{\eta}) - 2\beta c_{13} A / (c_{33} \tilde{\eta}) - \gamma^2 / (c_{66} \tilde{\eta}) \right]. \quad (23)$$

Из формул (22) и (23) следует, что температурные зависимости восприимчивостей выше и ниже T_c подчиняются закону Юри-Вейсса, однако из-за взаимодействия III с деформациями отношение констант Юри - Вейсса не равно двум.

Вычислим аномалии коэффициентов жесткости кристалла C_{ij} в точке фазового перехода. Согласно определению имеем

$$C_{ij}(T) = \left(\frac{\partial X_i}{\partial \varepsilon_j} \right)_s, \quad (24)$$

где X_i -внешнее поле, сопряженное деформации ε_i . Индекс s имеет тот же смысл, что и выше. Таким образом, получаем

$$\begin{aligned} C_{11}(T) &= C_{11} - 2\alpha^2 \Delta, & C_{12}(T) &= C_{12} - 2\alpha^2 \Delta, \\ C_{13}(T) &= C_{13} - 2\alpha\beta \Delta, & C_{33}(T) &= C_{33} - 2\beta^2 \Delta, \\ C_{66}(T) &= C_{66} - 2\gamma^2 \Delta, & C_{44}(T) &= C_{44}, \end{aligned} \quad (25)$$

где

$$\Delta = \begin{cases} 1/\alpha & \text{для фазового перехода второго рода,} \\ 1/(\alpha + 2\gamma\eta_s^2) & \text{для фазового перехода первого рода.} \end{cases} \quad (26)$$

Из формул (25) и (26) следует, что коэффициенты жесткости кристалла в тетрагональной фазе C_{11} , C_{12} , C_{33} , C_{66} при $T < T_c$ скачком уменьшают свою величину. Коэффициент C_{44} остается постоянным, а C_{13} , по-видимому, скачком увеличивается. Для фазового перехода первого рода, обусловленного взаимодействием III с деформациями, скачок Δ зависит от температуры.

3. ОБСУЖДЕНИЕ РЕЗУЛЬТАТОВ

Из таблицы видно, что структурные переходы из пр.гр. $I4/mmm$ с волновым вектором в X -точке происходят только в фазы с орторомбической симметрией. Согласно разложению (15) четыре фононные моды преобразуются по III τ_1 , причем одна мода определяет колебания ионов кислорода в базисной плоскости и сильно связана с электронами проводимости⁷⁷. Замораживание смещений ионов в мягкой моде приводит к пр.гр. D_{2h}^{19} . Отметим, что в данном случае симметрия допускает существование инварианта третьей степени по III. Другое колебание ионов кислорода, изменяющее расстояние $Cu - O$ в базисной плоскости, преобразуется по III τ_7 (имеется еще одна мода этой же симметрии). Структурный переход по III τ_7 приводит к пр.гр. D_{2h}^{20} . В кристаллах, изоструктурных K_2NiF_4 , нет фононных мод симметрии τ_2 , следовательно, переход $D_{4h}^{11} \longleftrightarrow D_{2h}^{22}$ не связан с конденсацией фононной моды.

Экспериментально наблюдаемый в La_2CuO_4 переход в пр.гр. D_{2h}^{18} обусловлен конденсацией мягкой моды, которая преобразуется по τ_3 или τ_5 . Двум III τ_3 и τ_5 соответствуют смещения ионов, приводящие к двум доменам, которые могут образоваться ниже температуры фазового перехода. В соответствии с работой¹⁰ структурный переход является несобственным сегнетоэластическим переходом и приводит

к скачкам коэффициентов жесткости кристалла. Отметим также, что возможна связь между колебаниями симметрии τ_1 и τ_3 . Симметризованное произведение НП τ_1 и τ_3 для звезды $\{\vec{k}_{14}=0\}$ преобразуется по НП $\tau_9(E_g)$: $[\tau_1 \otimes \tau_3] \sim \tau_9(E_g)$. Следовательно, имеется ангармоническое взаимодействие, связывающее колебания симметрии τ_1 и τ_3 с оптической модой симметрии E_g или компонентами тензора деформации (ϵ_4, ϵ_5). При этом конденсация мягкой моды симметрии τ_3 может приводить к сопутствующим смещениям ионов кислорода симметрии τ_1 и смещениям ионов La и $O(2)$ в базисной плоскости (оптическая мода симметрии E_g) или появлению компонент тензора спонтанной деформации (ϵ_4, ϵ_5), которые понижают симметрию кристаллической решетки до моноклинной.

Представляют интерес экспериментальные измерения скачков коэффициентов жесткости и параметров решетки кристалла вблизи фазового перехода. Существенный вклад в понимание природы фазового перехода могли бы внести экспериментальные исследования мягкой моды методом неупругого рассеяния нейтронов. Так, определение смещений ионов в мягкой моде методом динамической нейтронографии позволяет проверить гипотезу об ангармоническом взаимодействии мод симметрии τ_1 и τ_3 .

ЛИТЕРАТУРА

1. J.G.Bednorz, K.A.Muller. Z.Phys.B, 1986, v.64, No.2, p.189-193.
2. J.M.Longo, P.M.Raccah. J. Solid State Chem., 1973, v.6, p.526-531.
3. V.B.Grande, Hk.Muller-Buschbaum, M.Schweizer. Z.Anorg. Allg.Chem., 1977, v.428, p.120-124.
4. J.D.Jorgensen et al. Phys.Rev.Lett., 1987, v.58, No.10, p.1024-1027.
5. K.K.Singh, P.Ganguly, J.B.Goodenough. J.Solid State Chem., 1984, v.52, No.3, p.254-273.
6. C.Michel, B.Raveau. Rev.Chim.Miner., 1984, v.21, No.4, p.407-425.
7. L.F.Mattheiss. Phys.Rev.Lett., 1987, v.58, No.10, p. 1028-1030.
8. J.Yu,F.J.Freeman,J.-H.Xu. Phys.Rev.Lett., 1987,v.58,No.10,p.1035-1037.
9. О.В. Ковалев. Неприводимые и индуцированные представления и копредставления Федоровских групп. М.: Наука, 1986.
10. J.C.Toledano, P.Toledano. Phys.Rev.B, 1980, v.21, No.3, p.1139-1172.
11. Ю.А.Изюмов, В.Н.Сиромятников. Фазовые переходы и симметрия кристаллов. М.: Наука, 1984.
12. Л.Д.Ландау, Е.М.Лифшиц. Квантовая механика. М.: Наука, 1974.
13. J.L.Birman. Phys.Rev.Lett., 1966, v.17, No.24, p. 1216-1219.

Рукопись поступила в издательский отдел
29 июня 1987 года.

Плакида Н.М., Шахматов В.С.
Структурный фазовый переход в La_2CuO_4

P17-87-488

На основе симметрийного анализа рассмотрены возможные фазовые переходы $D_{4h}^{17} \rightarrow D_{2h}$, индуцированные мягкой модой в точке X зоны Бриллюэна. Обсуждается структурный переход в высокотемпературном сверхпроводнике типа La_2CuO_4 .

Работа выполнена в Лаборатории теоретической физики ОИЯИ.

Препринт Объединенного института ядерных исследований. Дубна 1987

Перевод авторов

Plakida N.M., Shakhmatov V.S.
Structural Phase Transition in La_2CuO_4

P17-87-488

On the basis of symmetry analysis possible phase transitions $D_{4h}^{17} \rightarrow D_{2h}$ induced by soft mode at the X-point of Brillouin zone are considered. The structural phase transition in high - T_c superconductor of La_2CuO_4 type is discussed.

The investigation has been performed at the Laboratory of Theoretical Physics, JINR.

Preprint of the Joint Institute for Nuclear Research. Dubna 1987